

# شبیه‌سازی عددی خنک‌کاری لایه‌بی جریان آشفته با استفاده از مدل‌های آشفتگی « $k-E$ -استاندارد» و «انتقال تنفس برشی»

محمد طبیبی رهنی (استادیار)

محمد رضا کیماسی (کارشناس ارشد)

دانشکده‌ی مهندسی هوافضا، دانشگاه صنعتی شریف

خنک‌کاری لایه‌بی در موارد متعددی، از جمله در خنک‌کاری تیغه‌های توربین‌های گازی کاربرد دارد. برای این‌که توربین گازی کارایی بیشتری داشته باشد، لازم است دمای ورودی به توربین را افزایش دهیم. بالابردن بیش از حد دمای ورودی باعث ذوب‌شدن تیغه‌ها می‌شود. به همین منظور، روی تیغه سوراخ‌هایی ایجاد می‌شود که از داخل این سوراخ‌ها سیال خنک‌کننده وارد جریان اصلی شده و بر روی سطح تیغه قرار می‌گیرد. در این تحقیق، مسئله‌ی خنک‌کاری لایه‌بی سه‌بعدی با تزریق از سوراخ‌های جداگانه بر روی یک سطح صاف و به صورت عددی مورد بررسی قرار گرفته و جریان داخل کانال جت خنک‌کننده نیز به همراه جریان اصلی حل شده است. برای مدل‌سازی آشفتگی از مدل  $k-E$ -استاندارد و مدل انتقال تنفس برشی استفاده شده است. در حالت زاویه‌ی تزریق  $90^\circ$  درجه، نتایج این تحقیق با نتایج تجربی و عددی دیگران مقایسه شده که همواره نسبتاً خوبی را نشان می‌دهد. همچنین، با مقایسه‌ی اثربخشی خنک‌کاری لایه‌بی برای نسبت‌های سرعت و زوایای تزریق مختلف، مقدار بهینه‌ی آنها بدست آمده است.

گرفتند که آشفتگی در بالادست جت غیر متعادل‌تر از ناحیه‌ی پائین‌دست جت است، در حالی که سطح آشفتگی در ناحیه‌ی پائین‌دست بیشتر از ناحیه‌ی بالادست است.<sup>[۱]</sup> در سال ۱۹۹۲، آمر و همکارانش مقایسه‌ی بین مدل‌های آشفتگی مختلف برای پیشگویی جریان خنک‌کاری لایه‌بی در دیفریج جابه‌جا شده  $3^\circ$  انجام دادند. مدل‌های آشفتگی مورد استفاده‌ی آنها عبارت بودند از  $k-E$ ،  $k-\omega$ ،  $k-\epsilon$ ،  $k-\omega$  و  $k-\omega$  بهبودیافته. آنها از طریق مقایسه‌ی جواب‌های حاصل از مدل‌های آشفتگی مختلف با نتایج تجربی گذشته به این نتیجه رسیدند که توانایی مدل‌های آشفتگی برای پیشگویی جریان خنک‌کاری لایه‌بی با نسبت سرعت و فاصله‌ی پائین‌دست از سوراخ‌های جت رابطه‌ی مستقیم دارد.<sup>[۲]</sup> در سال ۱۹۹۵، گرگ و گاگلر تأثیر توزیع سرعت و دما در خروجی جت را بر روی خنک‌کاری لایه‌بی پرهای توربین مورد مطالعه قرار دادند. برای این کار، از پروفیل‌های سرعت و دمای  $\frac{1}{7}$  توانی و چندجمله‌یی تنظیم شده، استفاده کردند. نتایج آنها نشان می‌دهد که پروفیل سرعت و دما در خروجی جت می‌توانند بر روی ضریب انتقال حرارت تا  $60\%$  تغییر ایجاد کند.<sup>[۳]</sup> در سال ۱۹۹۵، آژرش و همکاران او جریان یک ردیف جت را که با زاویه‌ی  $90^\circ$  درجه وارد جریان اصلی می‌شد، به صورت‌های

خنک‌کاری لایه‌بی در موارد متعدد، نظری خنک‌کاری لایه‌بی پرهای توربین‌های گازی و خنک‌کاری دیوارهای محفظه‌های احتراق، کاربرد دارد. برای این‌که توربین‌های گازی بتوانند نیروی رانش بیشتری تولید کنند و بازدهی بیشتری داشته باشند، باید درجه حرارت گاز ورودی به آنها را افزایش داد. با بهبود تقریبی مواد مورد استفاده برای ساخت پره‌ها در طی سال‌های متمادی، امکان افزایش دمای نسبتاً کمی وجود داشته است ولی با استفاده از فن خنک‌کاری لایه‌بی توانسته‌اند دمای ورودی به توربین را به طور قابل ملاحظه‌ی افزایش دهند. خنک‌کاری به روش‌های مختلف انجام می‌شود که می‌توان آنها را به دو دسته‌ی کلی خنک‌کاری داخلی و خنک‌کاری خارجی تقسیم کرد. در خنک‌کاری خارجی یا لایه‌بی هدف این است که سطح پره با لایه‌بی از سیال خنک که از طریق شکاف‌ها یا سوراخ‌هایی وارد جریان اصلی می‌شود، پوشانده شود.

## کارهای انجام‌شده توسط دیگران

در سال ۱۹۹۲، کیم و بنسون جریان حاصل از یک جت دایروی را، که به طور عمود وارد جریان اصلی محدود<sup>۱</sup> می‌شد، با استفاده از مدل‌های آشفتگی با چند مقیاس زمانی<sup>۲</sup> حل کردند. آنها نتیجه

در رابطه‌ی ۲،  $\rho$  چگالی سیال،  $\bar{q}$  فشار متوسط،  $k$  انرژی آشفتگی و  $\mu_{eff}$  لزجت مؤثر است که از رابطه‌ی  $\mu_{eff} = \mu_i + \mu_r$  به دست می‌آید. در این رابطه  $\mu_i$  لزجت مولکولی و  $\mu_r$  لزجت گردابه‌ی است. در معادله‌ی انرژی،  $\bar{T}$  دمای متوسط سیال و  $\Gamma_{eff}$  ضریب نفوذ مؤثر بوده واژ رابطه‌ی  $\Gamma_{eff} = \Gamma_i + \Gamma_r$  به دست می‌آید و به صورت زیر نوشته می‌شود:

$$\Gamma_{eff} = \frac{\mu_i}{pr_i} + \frac{\mu_r}{pr_t} \quad (4)$$

که در آن،  $i$  و  $t$  به ترتیب اعداد پرانتل آرام و آشفته‌اند.

### مدل‌های آشفتگی

برای مدل‌سازی آشفتگی از مدل  $k-\epsilon$  استاندارد و مدل آشفتگی انتقال تنش برಶی<sup>۶</sup> (Mdl SST) که در سال ۱۹۹۴ معرفی شده است. همچنین مدل  $k-\omega$ <sup>۷</sup>، استفاده شده است. مدل  $k-\epsilon$  استاندارد در نواحی نزدیک به دیوار و با عدد رینولدز پایین خوب کار نمی‌کند، در صورتی که استفاده از مدل  $k-\omega$  برای این نواحی مناسب است. همچنین مدل  $k-\epsilon$  نسبت به شرایط جریان آزاد بسیار حساس است. در صورتی که مدل  $k-\epsilon$  فاقد این ضعف می‌باشد. بنابراین، متنتر این دو مدل آشفتگی را ترکیب کرد و مدل آشفتگی انتقال تنش برಶی را به گونه‌ی طراحی کرد که مطابق آن، هر کدام از این مدل‌ها در ناحیه‌ی استفاده می‌شود که خوب کار می‌کند. مدل SST در زیر لایه‌ی لزج و ناحیه‌ی لگاریتمی از مدل  $k-\omega$  و در نواحی دور از دیوار از مدل  $k-\epsilon$  استفاده می‌کند. معادلات حاکم بر مدل SST به صورت زیر است:

$$\frac{D\rho k}{Dt} = \tau_{ij} \frac{\partial \bar{u}_i}{\partial x_j} - \beta \rho \omega k + \frac{\partial}{\partial x_j} \left[ (\mu + \sigma_k \mu_t) \frac{\partial k}{\partial x_j} \right] \quad (5)$$

$$\frac{D\rho \omega}{Dt} = \frac{\gamma}{\nu_t} \tau_{ij} \frac{\partial \bar{u}_i}{\partial x_j} - \beta \rho \omega^2 + \frac{\partial}{\partial x_j} \left[ (\mu + \sigma_\omega \mu_t) \frac{\partial \omega}{\partial x_j} \right] + \sigma_\omega \frac{1}{\omega} \frac{\partial k}{\partial x_j} \frac{\partial \omega}{\partial x_j} \quad (6)$$

در روابط فوق،  $k$  انرژی آشفتگی،  $\omega$  نرخ اتلاف انرژی آشفتگی بر واحد آن و  $\beta$  لزجت سینماتیکی گردابه‌ی است.تابع سوئیچ  $F_1$  به گونه‌یی تنظیم شده که در نزدیک دیوار مقدار آن یک و در نواحی دور از دیوار مقدار آن صفر باشد. مقادیر ضرایب ثابت  $\sigma_k$ ،  $\sigma_\omega$ ،  $\sigma_{\omega t}$ ،  $\sigma_k$ ،  $\sigma_\omega$  و  $\beta$  و تابع سوئیچ  $F_1$  در مرجع ۷ ارائه شده است.

### دامنه‌ی محاسباتی و متغیرهای مؤثر بر خنک کاری لایه‌بی

طرح شماتیک مسئله‌ی خنک کاری لایه‌بی با تزریق از سوراخ‌های جداگانه بر روی یک صفحه‌ی تخت در شکل ۱ نشان داده شده است.

تجربی و عددی بررسی کردند. در مطالعات تجربی، یک توول باد کم سرعت با یک ردیف جت شامل شش سوراخ مربع شکل وجود داشت. آنها برای اندازه‌گیری جریان از روش LDV استفاده کردند و نتایج را برای نسبت سرعت‌های  $1/5$  و  $1/0$  و  $5/0$  و نیز عدد رینولدز جت برابر  $4700$  ارائه کردند. این محققین، در شبیه‌سازی عددی خود، جریان داخل کanal را نیز به همراه جریان اصلی حل کردند. در نتایج عددی آنها، سرعت‌ها و تنش‌ها در خط مرکزی جت و پائین دست سوراخ کمتر از مقادیر تجربی است که آن را ناشی از مدل‌سازی آشفتگی حدس زندن. در خارج از خط مرکزی، نتایج ایشان توافق بهتری با نتایج تجربی دارد.<sup>[۴]</sup> در این نوشتار نیز، در حالت زاویه‌ی تزریق  $90^\circ$  درجه، نتایج خود را با نتایج تجربی و عددی بدست آمده توسط آجرش مقایسه کردایم.

در سال ۱۹۹۷، والترز و لی لک به مطالعه‌ی عددی مسئله‌ی خنک کاری لایه‌بی با استفاده از کد فلورنت<sup>۴</sup> پرداختند. در این بررسی، آنها جریان داخل کanal جهت و پلنوم را نیز به عنوان قسمتی از دامنه‌ی محاسباتی حل کردند. آنها جهت تولید شبکه برای دامنه‌ی محاسباتی پیچیده‌ی فوق از شبکه‌ی بسیار مطبوع استفاده کردند و برای جداسازی معادلات از روش‌های مرتباً بالا استفاده کردند.<sup>[۵]</sup>

در سال ۱۹۹۸، حسن و همکاران او مسئله‌ی خنک کاری لایه‌بی با زاویه‌ی مرکب را به کمک حل عددی بررسی کردند. برای مدل‌سازی آشفتگی، از مدل‌های آشفتگی مختلف استفاده کردند که شامل مدل‌های  $k-\epsilon$  /  $k-\omega$  ترکیبی و  $k-\epsilon$  /  $k-\epsilon$  استاندارد بود. آنان نتایج خود را برای نسبت سرعت‌های  $1/5$  و  $1/0$  و عدد رینولدز جت  $Re_{jet} = 5000$  ارائه و با نتایج تجربی دیگران مقایسه کردند و نتیجه گرفتند که توانایی مدل‌های ترکیبی  $k-\epsilon$  /  $k-\omega$  برای  $k-\epsilon$  /  $k-\epsilon$  میدان جریان شدیداً به نسبت سرعت و فاصله از سوراخ‌های جت بستگی دارد.<sup>[۶]</sup>

### معادلات حاکم

معادلات حاکم بر جریان عبارت‌اند از معادلات ناویر-استوکس میانگین‌گیری شده<sup>۵</sup> و معادله‌ی انرژی که در فرم بقائی برای سیال نیوتونی و جریان تراکم‌ناپذیر به صورت تانسوری زیر نوشته می‌شود:

$$\frac{\partial \bar{u}_j}{\partial x_j} = 0 \quad (1)$$

$$\frac{\partial}{\partial x_j} (\rho \bar{u}_i \bar{u}_j) = - \frac{\partial}{\partial x_i} \left[ \bar{p} + \frac{2}{3} \rho k \right] + \frac{\partial}{\partial x_j} \left\{ \mu_{eff} \left[ \frac{\partial \bar{u}_i}{\partial x_j} + \frac{\partial \bar{u}_j}{\partial x_i} \right] \right\} \quad (2)$$

$$\frac{\partial}{\partial x_j} (\rho \bar{u}_i \bar{T}) = \frac{\partial}{\partial x_j} \left[ \Gamma_{eff} \frac{\partial \bar{T}}{\partial x_i} \right] \quad (3)$$

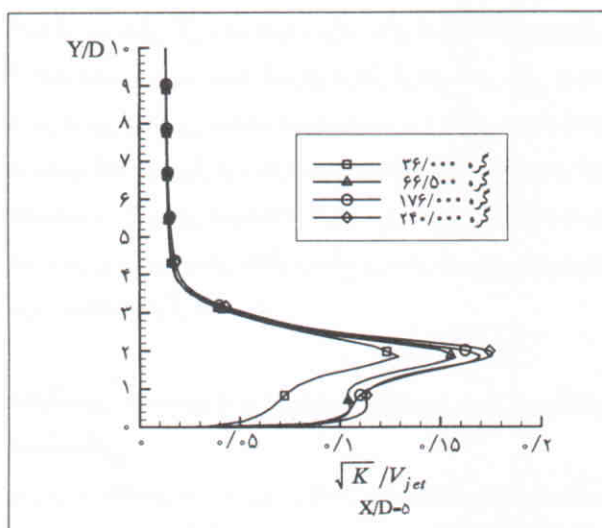
## روش‌های عددی و شرایط مرزی

برای حل عددی مسئلهٔ خنک‌کاری لایه‌بی از روش حجم محدود<sup>۱۰</sup> استفاده شده است. به کمک روش سیمپل<sup>۱۱</sup> و با استفاده از شبکه‌ی جاوه‌جاشده‌ی غیریکنواخت<sup>۱۲</sup> هفت معادلهٔ دیفرانسیل حاکم بر مسئلهٔ حل شده‌اند. شبکه در نزدیک دهانهٔ خروجی کanal و در جهت Y در نزدیک دیوار ریزتر شده است. همچنین، برای سریع تر همگراشدن از ضریب‌های تخفیف زیرین<sup>۱۳</sup> استفاده شده است. شارها نیز با استفاده از روش توانی<sup>۱۴</sup> محاسبه شده‌اند.<sup>[۸]</sup>

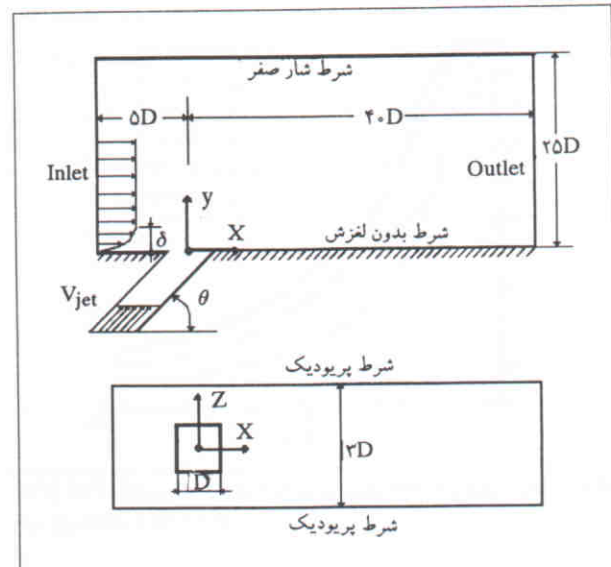
در این مسئله، از پنج نوع شرط مرزی استفاده شده که عبارت‌اند از: ورودی، خروجی، تناوبی، جریان آزاد و عدم لغزش. در ورودی جریان اصلی که در فاصلهٔ ۵D بالاتر از مرکز سوراخ قرار دارد، ضخامت لایه‌ی مرزی با استفاده از نتایج ذکر شده در منبع<sup>۴</sup> برابر ۲D قرار داده شده و مقدار سرعت در این ناحیه از پروفیل توانی و در خارج این ناحیه از پروفیل یکنواخت به دست آمده است. همچنین، برای انرژی آشفتگی از نتایج تجربی استفاده شده است. در ورودی کanal پروفیل سرعت و انرژی آشفتگی یکنواخت در نظر گرفته شده است. در خروجی، مقدار سرعت عمود بر مرز<sup>(۷)</sup> به گونه‌یی به دست

جدول ۱. تعداد گره‌های شبکه‌های مختلف.

N <sub>Total</sub>	N <sub>Z</sub>	N <sub>Y</sub>	N <sub>X</sub>	تعداد گره‌ها
۳۶۰۰۰	۱۵	۴۰	۶۰	شبکه‌ی اول
۶۶۵۰۰	۱۹	۵۰	۷۰	شبکه‌ی دوم
۱۷۶۰۰۰	۲۱	۷۰	۱۲۰	شبکه‌ی سوم
۲۴۰۰۰۰	۲۳	۸۰	۱۳۰	شبکه‌ی چهارم



شکل ۲. نمودارهای انرژی آشفتگی بی بعد بر روی خط مرکزی در صفحهٔ X/D=۵ برای شبکه‌های مختلف.



شکل ۱. شکل شماتیک مسئلهٔ خنک‌کاری لایه‌بی.

در این طرح، مرکز مبدأ مختصات در مرکز کanal قرار دارد. در این تحقیق، جریان داخل کanal جت خنک‌کننده نیز به همراه جریان اصلی حل شده است. سطح مقطع کanal مربع به ضلع D و طول کanal برابر ۵D است. جت‌ها با زاویهٔ تزریق  $\theta$  نسبت به سطح افقی وارد جریان اصلی می‌شود. فاصله‌ی بین مرکز سوراخ‌های جت‌ها در جهت Z برابر ۳D است و دامنهٔ محاسباتی شامل یکی از این جت‌ها است. یکی از متغیرهای مؤثر در مسئلهٔ خنک‌کاری لایه‌بی «نسبت تزریق»<sup>۷</sup> است که برابر با نسبت دبی جریان جت خنک‌کننده به دبی جریان اصلی بوده و به صورت زیر نوشته می‌شود:

$$M = \frac{\rho_{jet} V_{jet}}{\rho_{cf} V_{cf}}, \quad (7)$$

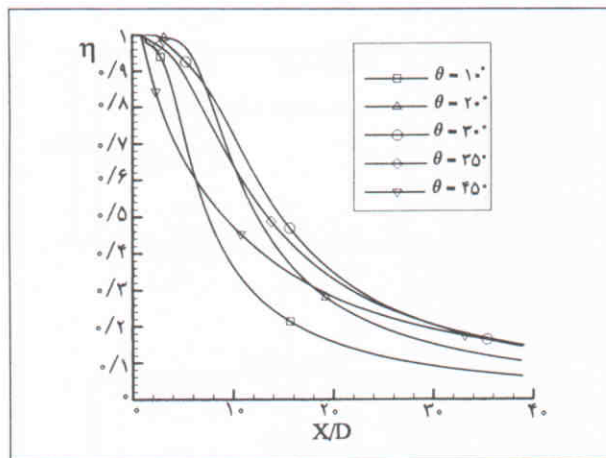
که در آن، M نسبت تزریق، نماد  $\rho_{jet}$  برای جت و نماد  $\rho_{cf}$  برای جریان اصلی است. به دلیل این که در این تحقیق هر دو سیال هوا در نظر گرفته شده است، نسبت تزریق تبدیل به نسبت سرعت<sup>۹</sup> و رابطهٔ ۷ به رابطهٔ ۸ تبدیل می‌شود:

$$R = \frac{V_{jet}}{V_{cf}}, \quad (8)$$

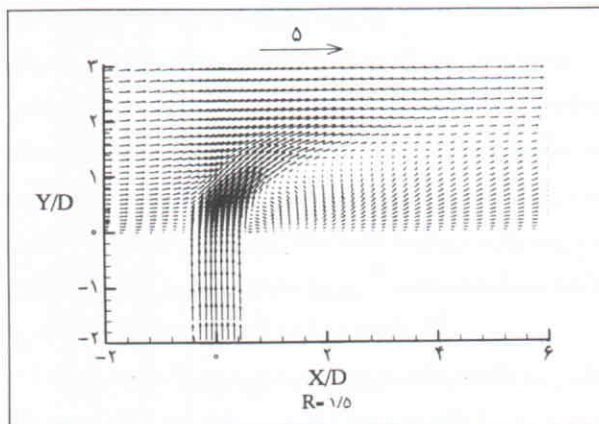
که در آن، R نسبت سرعت است.  $V_{jet}$  در تمامی نسبت سرعت‌ها ثابت و برابر ۵/۵ m/s است. عدد رینولدز جت براساس قطر جت (D)، و سرعت جت چنین تعریف می‌شود:

$$Re_{jet} = \frac{\rho V_{jet} D}{\mu}, \quad (9)$$

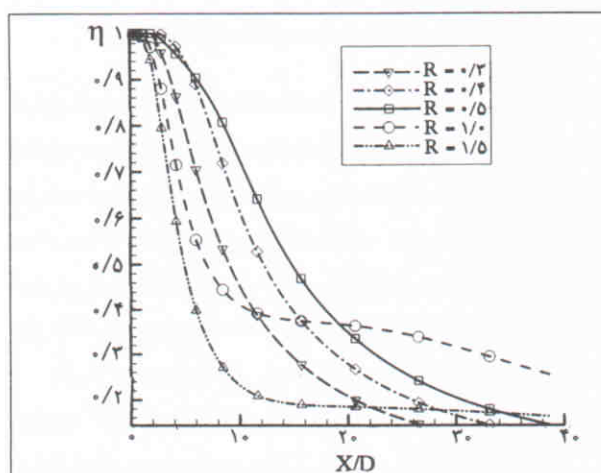
که با قراردادن مقادیر خواص هوا در شرایط استاندارد و  $D = ۱۲/۷ mm$ ، عدد رینولدز جت برابر با ۴۷۰۰ می‌شود.



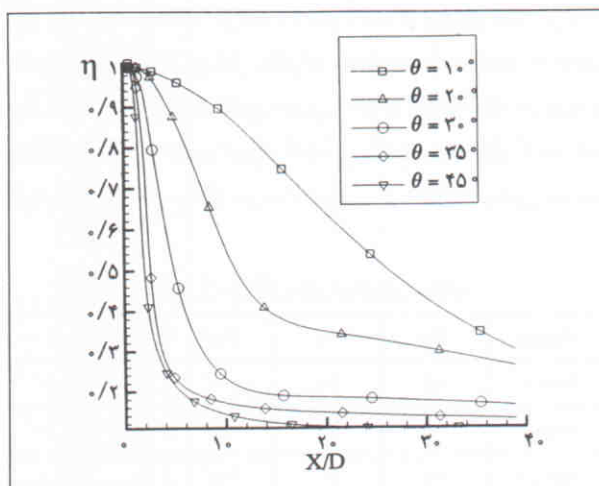
شکل ۵. اثربخشی خنک‌کاری لایه‌بی بر روی خط مرکزی برای زوایای تزریق مختلف و  $R=0.5$ .



شکل ۶. بردارهای سرعت بی بعد در صفحه  $Z=0$  برای نسبت سرعت  $1/5$  و زاویه تزریق  $90^\circ$  درجه.



شکل ۷. اثربخشی خنک‌کاری لایه‌بی بر روی خط مرکزی برای زوایای تزریق مختلف و زاویه تزریق بهینه ( $30^\circ$  درجه).



شکل ۸. اثربخشی خنک‌کاری لایه‌بی بر روی خط مرکزی برای زوایای تزریق مختلف و  $R=1/5$ .

است. چون انرژی آشفته‌گی نسبت به سرعت کمیت حساس‌تری است، متغیر مناسب‌تری برای مطالعه‌ی حساسیت برنامه به شبکه است. شکل ۲، انرژی آشفته‌گی بی بعد بر حسب  $Y/D$  را در صفحه  $Z=0$  بر روی خط مرکزی نشان می‌دهد. نتایج بدست آمده برای شبکه با تعداد گره  $36000$  اختلاف خیلی زیادی با جواب‌های حاصل از سایر شبکه‌ها دارد، اما جواب‌های بدست آمده برای شبکه‌های با تعداد گره  $176000$  و  $240000$  اختلاف کمی با یکدیگر دارند. بنابراین، شبکه‌ی  $176000$  گره‌بی بعنوان شبکه‌ی مناسب انتخاب شده است.

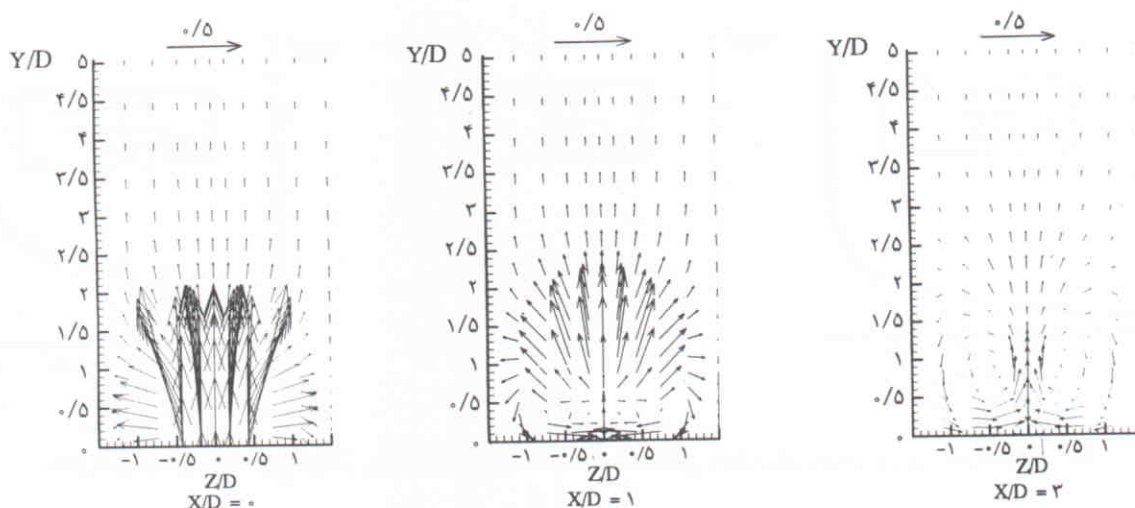
آمده که پیوستگی کل ارضاء شود و برای سایر کمیت‌ها از برونیابی استفاده شده است. در جهت  $Z$ ، برای درنظر گرفتن تأثیر سایر جهات از شرط مرزی تناوبی استفاده شده است. در مرز بالایی مسئله که در فاصله‌ی  $25D$  از دیوار قرار دارد سرعت عمود بر مرز برای سفر قرار داده شده و برای سایر کمیت‌ها از شرط مرزی نیومن استفاده شده است. در روی دیوارهای کانال و سطح پره، شرط مرزی عدم لغزش مورد استفاده قرار گرفته است.

### مطالعه‌ی حساسیت برنامه‌ی رایانه‌بی به شبکه‌ی محاسباتی

برای مطالعه‌ی حساسیت برنامه به شبکه از چهار شبکه‌ی غیریکنواخت با تعداد گره‌های مختلف استفاده شده است. تعداد گره‌های شبکه‌های مختلف در سه جهت  $X$  و  $Y$  و  $Z$  در جدول ۱ آمده

### نتایج

در این قسمت نتایج به دست آمده در صفحات مختلف ارائه شده و بر روی آنها بحث می‌شود.



شکل ۷. بردارهای سرعت بی بعد  $\bar{V}/V_{jet}$  در صفحات عرضی مختلف برای زاویه تزریق  $90^\circ$  درجه و  $1/5$

جریان داغ اصلی جریان جت را دور زده و بر روی سطح صفحه قرار می‌گیرد که باعث بالا رفتن دمای سطح می‌شود. در شکل ۵ توزیع اثربخشی خنک کاری لایه‌یی بر روی خط مرکزی ( $Z=0$ ) برای زاویه‌های تزریق مختلف و نسبت سرعت  $1/5$  نشان داده شده است. دراین شکل، زاویه تزریق  $30^\circ$  درجه بیشترین اثربخشی خنک کاری لایه‌یی را دارد و به عنوان زاویه تزریق بهینه انتخاب می‌شود.

اثربخشی خنک کاری لایه‌یی برای نسبت سرعت‌های مختلف در شکل ۶ توزیع اثربخشی خنک کاری لایه‌یی برای نسبت سرعت‌های مختلف در زاویه تزریق بهینه ( $30^\circ$  درجه) ارائه شده است. چنان‌که مشاهده می‌شود تا فاصله  $X/D = 19$  نسبت سرعت  $1/5$  دارای بیشترین اثربخشی خنک کاری لایه‌یی است ولی در فواصل دورتر نسبت سرعت  $1/10$  اثربخشی خنک کاری لایه‌یی بیشتری دارد. البته باید دقت شود که در فواصل دور مقدار اثربخشی خنک کاری لایه‌یی خیلی کم است و در عمل بیش از یک ردیف سوراخ مورد استفاده قرار می‌گیرد. بنابراین، نسبت سرعت  $1/5$  برای خنک کاری لایه‌یی مناسب‌ترین است و در عمل نیز (مانند خنک کاری لایه‌یی پره‌های توربین‌های گازی) از نسبت سرعت‌های پائین استفاده می‌شود.

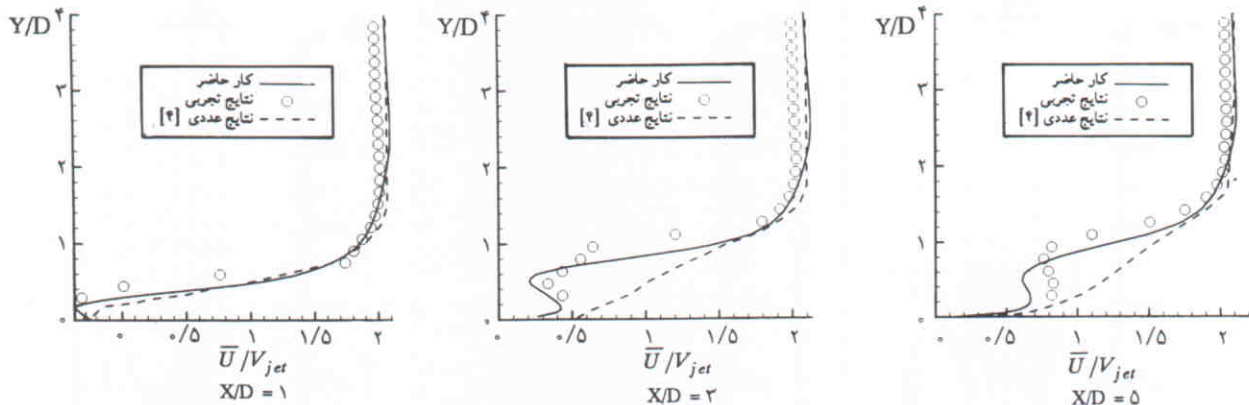
بردارهای سرعت در صفحات عرضی مختلف در شکل ۷، بردارهای سرعت بی بعد در صفحات عرضی مختلف برای نسبت سرعت  $1/5$  و زاویه تزریق  $90^\circ$  درجه نشان داده شده است. از فاصله  $X/D = 1$  به بعد، یک جفت گردابه که در خلاف هم در گردش (CRVP)<sup>۱۶</sup> است به وجود می‌آید. در نسبت سرعت  $1/5$ ، این

بردارهای سرعت در صفحه مرکزی در شکل ۳، بردارهای سرعت بی بعد در صفحه مرکزی در برای نسبت سرعت  $1/5$  و زاویه تزریق  $90^\circ$  درجه نشان داده شده است. همان‌طور که مشاهده می‌شود، یک جریان برگشتی<sup>۱۵</sup> و ناحیه‌یی جدا ای سه‌بعدی در پائین دست جت مشاهده می‌شود. برای نسبت سرعت‌های پائین ( $1/5 = R$ )، نیز جریان برگشتی در حالت زاویه تزریق  $90^\circ$  درجه وجود دارد اما در ناحیه کوچک‌تر و در فاصله‌ی نزدیک‌تری نسبت به صفحه پائینی رخ می‌دهد. در حالت خنک کاری لایه‌یی سه‌بعدی با استفاده از مشاهدات تجربی آندروپولوس، سیال در این ناحیه یک مسیر مارپیچ را طی می‌کند.<sup>۱۶</sup>

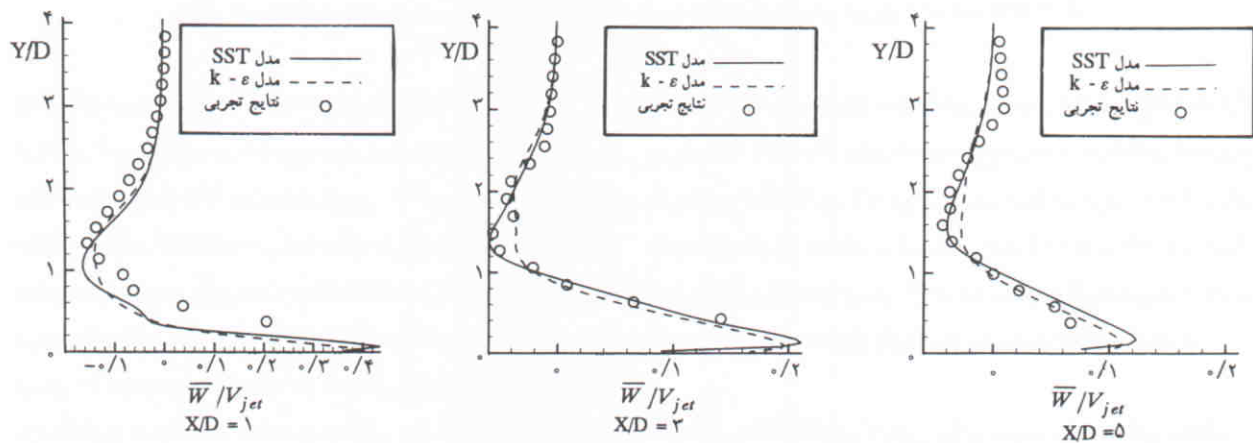
اثربخشی خنک کاری لایه‌یی برای زوایای تزریق مختلف اثربخشی خنک کاری لایه‌یی (۶)، به صورت زیر تعریف می‌شود:

$$\eta = \frac{T_{aw} - T_f}{T_{jet} - T_f} \quad (10)$$

که در آن،  $T_{aw}$  دمای دیوار عایق،  $T_{jet}$  دمای جت خنک‌کننده و  $T_f$  دمای جریان اصلی است. بدلیل این‌که اثربخشی خنک کاری لایه‌یی با تغییرات دمای جت ثابت می‌ماند، متغیر مناسب برای بررسی اثرات هیدرودینامیکی تزریق است. در شکل ۴ توزیع اثربخشی خنک کاری لایه‌یی بر روی خط مرکزی ( $Z=0$ ) برای زاویه‌های تزریق مختلف و نسبت سرعت  $1/5$  نشان داده شده است. چنان‌که مشاهده می‌شود، با افزایش زاویه تزریق، اثربخشی خنک کاری لایه‌یی کاهش می‌یابد. از آنجاکه، نسبت سرعت زیاد است با افزایش زاویه تزریق، جریان جت به داخل جریان اصلی نفوذ می‌کند و بر روی سطح قرار نمی‌گیرد. همچنین، در نسبت سرعت‌های بالا،



شکل ۸. بردارهای سرعت  $\bar{U}/V_{jet}$  بر روی خط مرکزی ( $Z=0$ ) صفحات عرضی مختلف برای زاویهٔ تزریق  $90^\circ$  درجه و  $5^\circ$



شکل ۹. بردارهای سرعت  $\bar{W}/V_{jet}$  بر روی خط  $Z/D=-5/5$  در صفحات عرضی مختلف برای زاویهٔ تزریق  $90^\circ$  درجه و  $5^\circ$

$X/D=3$  و  $5$  توافق بهتری با نتایج تجربی دارد و در این صفحات نتایج مدل آشفتگی انتقال تنش برشی کمی بهتر از مدل  $k-\epsilon$  است.

گردابهای دور در پائین دست نیز وجود دارد و با افزایش فاصله از جت از قدرت آنها کاسته می‌شود و مرکز جت‌ها در فاصلهٔ بالاتری از صفحهٔ پائینی قرار می‌گیرد.

### نتیجه‌گیری

با مقایسهٔ متغیر اثربخشی خنک‌کاری لایه‌بی‌یی برای نسبت سرعت‌ها و زوایای تزریق مختلف، مقادیر بھینه‌ی آنها به دست آمده است. مقدار بھینه‌ی نسبت سرعت  $5/5$  و مقدار بھینه‌ی زاویهٔ تزریق برابر  $30^\circ$  درجه است. در نسبت سرعت‌های بالا با افزایش زاویهٔ تزریق به دلیل قرار نگرفتن سیال خنک بر روی سطح پره، اثربخشی خنک‌کاری لایه‌بی‌یی کاهش می‌یابد. نتایج دو مدل آشفتگی  $k-\epsilon$  و مدل انتقال تنش برشی به هم نزدیک بوده و نسبت به نتایج عددی آجرش، هم خوانی بھتری را با نتایج تجربی نشان می‌دهد. همچنین، در حالت زاویهٔ تزریق  $90^\circ$  درجه، برای نسبت سرعت‌های مختلف جریان برگشتی در پائین دست جت وجود دارد و در صفحات عرضی مختلف، گردابهایی که در خلاف جهت هم در گردش اند، مشاهده شده است.

مقایسهٔ نتایج حاضر با نتایج تجربی و عددی دیگران در شکل ۸، پروفیل‌های  $\bar{U}/V_{jet}$  در صفحات عرضی مختلف بر روی خط مرکزی برای نسبت سرعت  $5/5$  و زاویهٔ تزریق  $90^\circ$  درجه نشان داده شده است. در این شکل، حل عددی حاضر با نتایج تجربی و عددی آجرش مقایسه شده است.<sup>[۴]</sup> پروفیل‌های به دست آمده توسط حل عددی حاضر در صفحات عرضی  $5/5$  و  $3/5$  در  $X/D = 3$  مقایسه با جواب‌های عددی آجرش، توافق خیلی بھتری با نتایج تجربی دارد. در شکل ۹، پروفیل‌های سرعت افقی ( $\bar{W}/V_{jet}$ ) در صفحات عرضی مختلف بر روی خط  $Z/D=-5/5$  برای نسبت سرعت  $1/5$  و زاویهٔ تزریق  $90^\circ$  درجه نشان داده شده است. در این شکل نتایج به دست آمده توسط مدل  $k-\epsilon$  و مدل انتقال تنش برشی (SST) با نتایج تجربی مقایسه شده است. نتایج در صفحات

### پانوشت‌ها

1. confined
2. multiple time scale
3. staggered
4. Fluent code
5. reynolds average navir-stokes
6. shear stress transport model (SST)
7. blowing ratio
8. cross flow
9. velocity ratio
10. finite volume method
11. simple method
12. non-uniform staggered grid
13. under-relaxation factors
14. power-law scheme
15. back flow
16. counter rotating vortex pair (CRPV)

Film Cooling From Two Rows of Holes", *Numerical Heat Transfer, Part A*, **21**, pp. 143-162 (1992).

3. Garg, V.K. and Gaugler, R.E. "Effect of Velocity and Temperature Distribution at the Hole Exit on Film Cooling of Turbine Blades", *ASME Paper*, **95-GT-2**, pp. 1-12 (1995).
4. Ajersch, P., Zhou, J.M., Ketler, S., Salcudean, M., and Gartshore, I.S. "Multiple Jets in a Crossflow: Detailed Measurements and Numerical Simulations", *ASME Paper*, **95-GT-9**, pp. 1-16 (1995).
5. Walters, D.K. and Leylek, J.H. "A Systematic Computational Methodology Applied to a Three-Dimensional Film Cooling Flow Field", *ASME J. Turbomachinery*, **119**, pp. 777-785 (1997).
6. Hassan, I., Findlay, M., Salcudean, M., and Gartshore, I. "Prediction of Film Cooling With Compound-Angle Injection Using Different Turbulence Models", *CFD 98*, pp. 1-6 (1998).
7. Menter, F.R. "Two-Equation Eddy Viscosity Turbulence Models for Engineering Applications", *AIAA J.*, **32**(8), pp. 1598-1605 (1994).
8. Versteeg, H.K. and Malalasekera, W. "An Introduction to Computational Fluid Dynamics-The Finite Volume Method", Longman Malaysia, TCP (1996).
9. Andreopoulos, J. and Rodi, W. "Experimental Investigation of Jets in a Cross Flow", *J. Fluid Mechanics*, **138**, pp. 93-127 (1984).

### منابع

1. Kim, S.W. and Benson, T.J. "Calculation of a Circular Jet in Crossflow with a Multiple-Time-Scale Turbulence Model", *International J. Heat Mass Transfer*, **35**(10), pp. 2357-2365 (1992).
2. Amer, A.A., Jubran, B.A. and Hamdan, M.A. "Comparison of Different Two Equation Turbulence Models for Prediction of